

유기용매 전해조를 이용한 리튬이차박막전지용 Sn 음극의 제조

김동훈[†] · 도칠훈^{†,*} · 이정훈[†] · 이덕준[†] · 하경화[†] · 진봉수[†] · 김현수[†] · 문성인[†] · 황영기^{‡‡}

[†]한국전기연구원 전지연구그룹, ^{‡‡}경남대학교 화학공학과

(2008년 10월 31일 접수 : 2008년 11월 17일 채택)

Preparation and Characterization of a Sn-Anode Fabricated by Organic-Electroplating for Rechargeable Thin-Film Batteries

Dong-Hun Kim[†], Chil-Hoon Doh^{†,*}, Jeong-Hoon Lee[†], Duck-Jun Lee[†], Kyeong-Hwa Ha[†], Bong-Soo Jin[†], Hyun-Soo Kim[†], Seong-In Moon[†], Young-Ki Hwang^{‡‡}

[†]Korea Electrotechnology Research Institute, Changwon, Gyeongnam, 641-120, Korea

^{‡‡}Gyeongnam University, Masan, Gyeongnam, 631-701, Korea

(Received October 31, 2008 : Accepted November 17, 2008)

초 록

박막 리튬이차전지의 고용량 음극을 개발하기 위하여, Sn(II) 아세테이트를 포함한 유기전해조 도금법을 이용하여 Sn 박막전극을 제조하였다. Li⁺와 Sn²⁺를 포함한 전해조에 대한 순환전위전류시험 결과 3종류의 환원 반응이 나타났으며, 2.0~2.5 V 영역이 Ni 집전체 표면에 대한 Sn의 석출 반응에 해당한다. 수계전해액에 대한 Sn²⁺의 표준환원전위는 2.91 V vs. Li⁺/Li⁰ 인데 반해 유기전해조에서는 보다 낮은 전위에서 환원반응이 일어났다. 이는 유기전해질의 고저항과 Sn²⁺의 낮은 농도에 기인한 과전위의 결과로 생각된다. 제조한 전극의 물리적 특성 및 전기화학적 특성을 연구하였다. 석출한 Sn 전극을 150°C로 열처리하여 보다 높은 결정성을 얻을 수 있었고, 이를 Sn/Li 전지로 구성하여 전기화학적 실험을 한 결과 0.25 V와 0.75 V에서 각각 힙금화-탈합금화 과정을 확인 할 수 있었다. 제조한 전극의 두께를 전기량을 통하여 계산한 바 7.35 μm였으며, 가역용량은 400 μAh/cm²을 얻었다.

Abstract : Sn-thin film as high capacitive anode for thin film lithium-ion battery was prepared by organic-electrolyte electroplating using Sn(II) acetate. Electrolytic solution including Li⁺ and Sn²⁺ had 3 reduction peaks at cyclic voltammogram. Current peak at 2.0~2.5 V region correspond to the electroplating of Sn on Ni substrate. This potential value is lower than 2.91 V vs. Li⁺/Li⁰, of the standard reduction potential of Sn²⁺ under aqueous media. It is the result of high overpotential caused by high resistive organic electrolytic solution and low Sn²⁺ concentration. Physical and electrochemical properties were evaluated using by XRD, FE-SEM, cyclic voltammogram and galvanostatic charge-discharge test. Crystallinity of electroplated Sn-anode on a Ni substrate could be increased through heat treatment at 150°C for 2 h. Cyclic voltammogram shows reversible electrochemical reaction of reduction(alloying) and oxidation(de-alloying) at 0.25 V and 0.75 V, respectively. Thickness of Sn-thin film, which was calculated based on electrochemical capacity, was 7.35 μm. And reversible capacity of this cell was 400 μAh/cm².

Keywords : Thin film, Anode, Sn, Organic electrolyte-electroplating.

*E-mail: chdoh@keri.re.kr

1. 서 론

최근 NT(Nano-technology), IT(Information technology)와 BT(Bio-technology)의 융합 발달에 의해 마이크로일렉트로닉스(Microelectronics) 산업이 부각되고 있다. 마이크로 일렉트로닉스 산업의 발전은 소자 및 기기의 경량화 및 소형화를 가속 시키고 있으며, 소형화 된 소자에 적합한 전류와 전력을 가진 초소형 전원 시스템으로서 리튬이차박막전지의 연구가 진행되고 있다. 1983년에 Kanehori 등¹⁾이 화학적 증기 증착법(CVD, chemical vapor deposition) 법으로 제조한 박막전극으로 박막전지의 가능성을 제시한 이후로 RF-스퍼터링,²⁾ 전자빔 증착기 (electron -beam evaporation,³⁾ 물리적 증기 증착법,⁴⁾(PVD, physical vapor deposition), 회전 코팅법(spin-coating),⁵⁾ 펄스 레이저 증착법(PLD,pulsed laser deposition)⁶⁾등의 다양한 방법을 이용하여 박막전지 구성요소 및 박막전지를 개발하고 있다. 리튬이차전지용 상용 음극재료인 탄소계 전극을 대체할 수 있는 새로운 음극재료로서 Sn계 화합물이 연구되고 있으며, Sn 금속,^{8,9)} Sn 산화물,^{6,8)} Sn 합금,⁹⁻¹²⁾ Sn 인화물,^{13,14)} Sn 인산염¹⁵⁻¹⁷⁾ 등이 보고 되었다. Sn 재료는 리튬과 합금을 형성하여 최대 Li₂₂Sn₅의 상태로 충전될 수 있어서 고용량 특성을 나타낸다. 평균전위는 0.38 V이며, 리튬의 확산계수는 $5.9 \times 10^{-7} \text{ cm}^2/\text{sec}$ 로 보고되었다.¹¹⁾ Li-Sn 합금재료의 조성, 밀도, 녹는점, 이론비용량, 전위 및 확산계수를 Table 1에 나타내었다.

본 연구에서는 유기용매 전해조를 이용한 도금법을 적용하여 비수계 조건에서 박막전극을 제조하고 전기화학적 특성을 연구하였다.

2. 실험

본 연구에 사용한 주석박막전극은 유기용매 전해조를 이용한 전기도금법으로 제작하였다. 유기전해질은 1 M 농도의 LiPF₆가 용해된 ethylene carbonate(EC)와 diethyl carbonate(DEC)의 1 : 1 체적비율 용액 (Techno Semicam Co.) 이었으며, 유기전해질 50 ml에 Sn(II) 아세테이트 (0.5 g, Aldrich, 97%)를 넣고 교반기를 이용하여 45°C에서 400 rpm으로 24시간 동안 용해하여 전해조를 구성하였다. 집전체로 사용한 Ni 박판의 작업전극과 리튬금속의 기준전극 및 상대전극을 사용하여 유기용매 전해조에서 3.2~2.0 V 까지의 전압구간에서 20 μA/cm²의 전류를 10시간 동안 인가하여 유기전해액 속에 있는 주석이온을 Ni 집전체 표면에 석출시켜 Sn 전극을 제조하였다. 전극제조 시 사용한 유기용매 전해조를 Table 2에 나타내었다.

전기도금법으로 제조한 Sn 전극의 결정구조는 X선 회절 분석법 (X'pert pro, philips Co., Netherlands)으로 확인하였으며, 미세 표면형상을 확인하기 위해 FE-SEM (field emission electron microscopy, Hitachi S-4200, Japan)을 이용하였다.

제조한 Sn 전극의 전기화학적 특성 및 충·방전 특성을 분석하기 위해 전기도금법으로 제조한 Sn(Ni) 전극과 리튬금속전극(FMC, 직경 10 mm) 및 EC(ethylene carbonate)와 DEC(dimethyl carbonate)를 1 : 1의 부피

Table 2. Sn electroplating condition in this work

Bath	50 ml 1 M LiPF ₆ in EC/DEC = 1/1(vol%) + 0.5 g Sn(II) acetate
Current density	20 μA/cm ²
Anode	Li

Table 1. Properties of Li-Sn alloy materials

starting material	alloy material	density (g/ml)	melting point (°C)	theoretical specific capacity (mAh/g)	Plateau Potential (V[Li/Li ⁺])	diffusion coefficient (cm ² /s)
Sn	-	7.29	-	-	-	-
Sn	Li ₂ Sn ₅	6.11	319	88.3	0.76	-
Sn	Li ₁ Sn ₁	5.10	485	213.3	0.660	8.0×10^{-8}
Sn	Li ₃ Sn ₂	Li _{1.5} Sn ₁	-	465	-	-
Sn	Li ₇ Sn ₃	Li _{2.35} Sn ₁	3.67	500	0.530	5×10^{-7}
Sn	Li ₅ Sn ₂	Li _{2.5} Sn ₁	3.54	698	0.485	5.0×10^{-7}
Sn	Li ₁₃ Sn ₅	Li _{2.6} Sn ₁	3.46	716	509.6656.0	0.0485
Sn	Li ₇ Sn ₂	Li _{3.5} Sn ₁	2.96	783	656.0	0.420
Sn	Li ₄ Sn ₁	Li ₄ Sn ₁	-	684	-	-
Sn	Li ₂₂ Sn ₅	Li _{4.4} Sn ₁	2.56	758	790.2	5.9×10^{-7}
SnO	Li ₂₂ Sn ₅ Sn ₅ /5Li ₂ O	Li _{4.4} Sn ₁ /Li ₂ O	-	-	875.36	-
SnO ₂	Li ₂₂ Sn ₅ Sn ₅ /5Li ₂ O	Li _{4.4} Sn ₁ /2Li ₂ O	-	-	728.43	-

비로 혼합한 유기용매 (Techno Semichem Co.)에 1 M의 LiPF₆를 용해한 전해액을 이용하여 CR-2032형의 코인형 전지를 구성하였다. 구성한 전지의 전기화학적 특성을 분석하기 위해 potentiostat/galvanostat(VSP, principle applied research, U.S.A.)를 이용하여 0.2 mV/s의 주사속도로 0~3.0 V의 구간에서 순환전위전류시험을 행하였으며, 사이클 특성은 50 μA/cm²의 전류값으로 0.1~2.0 V 구간의 충방전 시험으로 구하였다.

3. 결과 및 고찰

Fig. 1은 집전체인 Ni 박판 표면에 Sn 석출을 확인하기 위해 Sn(II) 아세테이트를 용해한 유기용액 전해조와 용해하지 않은 전해조를 이용하여 각각의 경우에 대해 cyclic voltammogram을 비교한 결과이다. Sn 이온을 함유하고 있지 않은 결과에서는 0~3.0 V 전압 구간에서 아무런 반응이 일어나지 않음을 알 수 있었다. Sn(II) 아세테이트를 용해하여 Li⁺와 Sn²⁺를 포함한 전해조에 대한 순환전위전류시험 결과에서는 3종류의 환원 반응이 나타났다. 2.0~2.5 V 부근의 반응은 Ni 집전체 표면에 Sn이 석출되는 반응에 해당한다. Sn²⁺의 표준환원전위는 -0.14 V vs. H⁺/H₂이며, Li⁺/Li⁰ 기준전극 전위 -3.05 V vs. H⁺/H₂의 관계로부터, Sn²⁺의 표준환원전위는 2.91 V vs. Li⁺/Li⁰에 해당한다. 수계전해액에 대한 Sn²⁺의 표준환원전위는 2.91 V vs. Li⁺/Li⁰인데 반해 유기전해조에서는 보다 낮은 전위에서 환원반응이 일어났다. 이는 유기전해질의 고저항과 Sn²⁺의 낮은 농도에 기인한 과전위의 결과로 생각된다. 0 V부근의 환원 봉우리와 0.7 V 부근의 산화 봉우리는 식 1의 반응에 따라 Sn이 리튬과 합금화되는 가역적 반응이다.¹⁰⁾

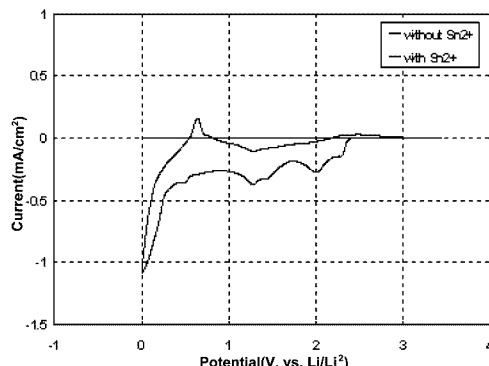


Fig. 1. Cyclic voltammogram of the Ni substrate with/without Sn ion in the organic electrolyte.

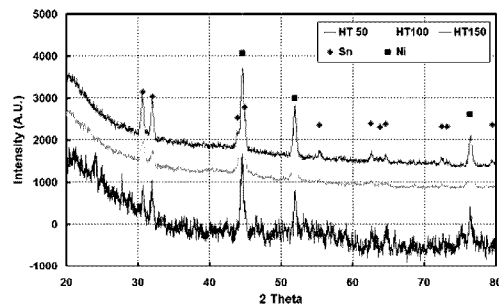


Fig. 2. XRD pattern of electroplated Sn thin film on the Ni substrate at various temperature of heat treatment.

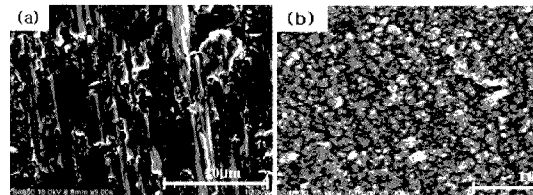


Fig. 3. FE-SEM image of (a) Ni substrate and (b) electroplated Sn substrate.

Fig. 1의 결과를 통해 2.0~2.5 V 전압구간에서 Sn이 석출되는 것을 확인하여 개회로전위에서 2.0 V까지 정전류 10 μA/cm²를 인가하여 Ni 집전체 표면에 Sn을 석출시켰다. fig. 2는 유기용매 전해조에서 Ni 집전체 표면에 Sn을 석출시킨 후 50, 100, 150°C에서 각각 2시간동안 열처리한 전극의 XRD 회절 패턴을 나타낸 결과이다. 석출시킨 Sn전극의 결과에서 전형적인 Sn 봉우리들이 관찰되었고 열처리 온도가 증가함에 따라 결정화도가 높아지는 것을 알 수 있었다. 150°C로 열처리한 전극을 이용하여 박막전극의 특성을 조사하였다.

Fig. 3은 FE-SEM 미세표면 사진으로서 그림 3a는 Sn을 석출시키기 전의 Ni 집전체의 사진이고, fig. 3b는 유기용매 전해조에서 전기도금법을 이용하여 제조한 Sn 전극의 FE-SEM 사진이다. (a)와 (b)를 비교한 결과, 유기용매에 녹아있던 Sn²⁺ 50~500 nm 크기로 Ni 박판 집전체 표면전체에 균일하게 석출한 것을 알 수 있었다. 이는 나노입자들이 증착된 것 같이 막을 형성하고 있어 전지를 구성하였을 때 높은 용량특성을 나타낼 것이라고 생각된다.

Fig. 4는 전기도금법으로 제조한 Sn 음극을 이용하여 구성한 전지에 대해 주사속도 0.2 mV/sec로 측정한 순환전위전류곡선을 나타낸 결과이다. 0.25 V에 나타난 환원 봉우리와 0.75 V부근의 산화 봉우리는 각각 Li-Sn⁰ 합금화-틸합금화가 되는 과정에서 생긴 것

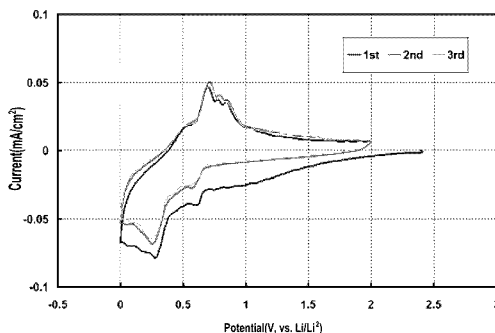


Fig. 4. Cyclic voltammograms of electroplated Sn/Li cell.
Scan rate: 0.2 mVs^{-1}

이다.^{12,14)} 이러한 가역적인 봉우리와 함께 초기 환원 과정의 1.4~0.9 V 영역에서 완만한 비가역 봉우리가 나타남을 알 수 있었다. 이는 유기용매의 분해와 SEI layer의 형성에 기인된다고 사료된다.¹⁰⁾

Fig. 5a는 전지의 전위변화도를 나타낸 그림이다. 충전 시 석출한 Sn 전극은 0.64 V, 0.37 V vs. Li/Li⁺에서 평탄 구간을 형성하였으며, 방전 시에는 0.55 V와 0.7 V 영역에 각각 전위평탄구간이 나타남으로서 가역적 반응임을 알 수 있었다. 이 때 가역용량 420 $\mu\text{Ah}/\text{cm}^2$ 값과 Sn의 밀도 $5.76 \text{ g}/\text{cm}^3$ 을 이용하여 두께를 추정한 결과 유기전해조 도금법으로 석출한 Sn의 두께는 $7.35 \mu\text{m}$ 이었고, $0.43 \text{ mg Sn}/\text{cm}^2$ 석출되었음을 알 수 있었다. 패러네이 법칙과 실제 석출량 및 인가한 전류 값으로 식(2)를 이용하여 전석 효율을 구하였으며, 전석효율은 95.3%였다.

$$\text{전석효율} (\%) = \frac{\text{실제석출량}}{\text{이론석출량}} \times 100 \quad (2)$$

Fig. 5 (b)는 싸이클 특성으로서 $400 \mu\text{Ah}/\text{cm}^2$ 의 용량을 나타내었으며, 싸이클의 진행에 따라 급속한 용량의 감소를 나타내었다. 전지 구성의 최적화를 통한 싸이클 특성의 개선이 필요하다.

4. 결 론

Sn 박막전극을 Ni 집전체 위에 Sn(II) 아세테이트를 포함한 유기전해조 도금법을 이용하여 제조 할 수 있었으며, 본 박막전극의 전기화학적 특성을 연구하였다. 제조한 Sn 박막전극은 150°C 의 열처리로 보다 높은 결정성을 나타내었다. 유기전해조 도금법으로 제조한 Sn 전극의 두께는 $7.35 \mu\text{m}$ 였으며, Sn/Li 전지를 구성하여 전기화학적 특성을 평가한 결과 0.25 V 의 합금화 봉우리와 0.75 V 의 텔히금화 봉우리를 나타내었

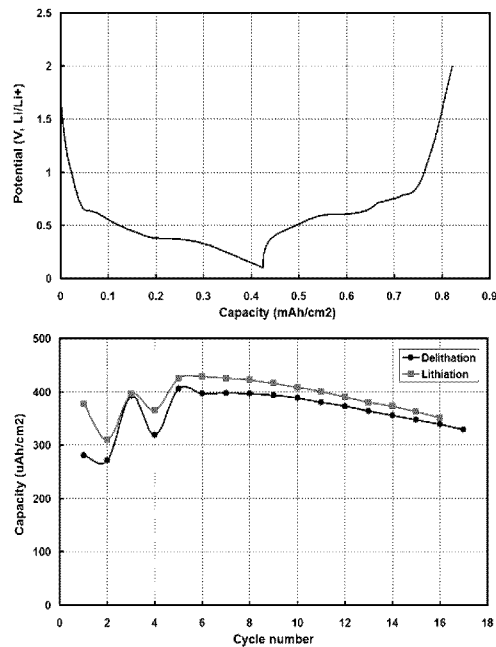


Fig. 5. Potentiogram (a) and cycle pattern (b) of electroplated Sn/Li cell at $50 \mu\text{A}/\text{cm}^2$.

다. 충·방전 시험을 하여 $400 \mu\text{A}/\text{cm}^2$ 의 가역용량을 가짐을 알 수 있었다. 그러나 사이클이 진행됨에 따라 급격한 용량 감소를 일으켰다. 유기전해조 도금법으로 제조한 Sn 음극을 박막전지에 적용하기 위해서는 Sn 박막의 두께 감소와 구성의 최적화를 통한 사이클 특성의 개선이 필요하다.

참고문헌

- K. Kanehori, K. Matsumoto, K. Miyauchi, and T. Kudo, 'Thin Film Solid Electrolyte and its Application to Secondary Lithium Cell', *Solid State Ionics*, **9-10**, 1445 (1983).
- 문희수, 성상현, 김영일, 박종완, '산소량에 따른 SnO_x 박막의 음극 특성', *J. Korean Electrochem. Soc.*, **3**, 178 (2000).
- R. Z. Hu, Y. Zhang, and M. Zhu, 'Microstructure and Electrochemical Properties of Electron-beam Deposited Sn-Cu thin Film Anodes for Thin Film Lithium-ion Batteries.', *Electrochimica Acta*, **53(8)**, 3377 (2008).
- N. J. Dudney 'Solid-state Thin-film Rechargeable Batteries.', *Materials Science and Engineering B*, **116**, 245 (2005).
- J. P. Maranchi, A. F. Hepp, and P. N. Kumta, 'LiCoO₂ and SnO₂ Thin Film Electrode for Lithium-ion Battery Applications', *Materials Science and Engineering B*, **116**, 327 (2005).
- Hui Xia, Songbai Tang, and Li Lu, 'Properties of

- Amorphous Si Thin Film Anodes Prepared by Pulsed Laser Deposition', *Materials Research Bulletin*, **42**, 1301 (2007)
- 7. J. W. Park, S. Rajendran, and H. S. Kwon, 'Effect of Substrate Morphology and Ageing on Cycle Performance of a Sn-anode Fabricated by Electroplating', *J. Power Sources*, **159**, 1409 (2006).
 - 8. L. Y. Beaulieu, S. D. Beattie, T. D. Hatchard, and J. R. Dahn, 'The Electrochemical Reaction of Lithium with tin Studied by in Situ AFM', *J. Electrochem. Soc.*, **150**, A419 (2003).
 - 9. L. Y. Beaulieu, T. D. Hatchard, A. Bonakdarpour, M. D. Fleischauer, and J. R. Dahn, 'Reaction of Li With Alloy Thin Films Studied by in Situ AFM', *J. Electrochem. Soc.*, **150**, A1457(2003).
 - 10. M. Inaba, T. Uno, and A. Tasaka, 'Irreversible Capacity of Electrodeposited Sn Thin Film Anode', *J. Power Sources*, **146**, 473 (2005).
 - 11. M. Winter and J. O. Besenhard, "Electrochemical Lithiation of tin and Tin-based Intermetallics and Composites', *Electrochim. Acta*, **45**, 31 (1999).
 - 12. N. Tamura, R. Ohshita, M. Fujimoto, S. Fujitani, M. Kamino, and I. Yonezu, 'Study on the Anode Behavior of Sn and Sn-Cu Alloy Thin-film Electrodes', *J. Power Sources*, **107**, 48 (2002).
 - 13. S. J. Lee, H. Y. Lee, S. H. Jeong, H. K. Baik, and S. M. Lee, 'Performance of Tin-containing Thin-film Anodes for Rechargeable Thin-film Batter', *J. Power Sources*, **111**, 345 (2002).
 - 14. T. Takamura, K. Sumiya, J. Suzuki, C. Yamada, and K. Sekine, 'Enhancement of Li dOping/undoping Reaction Rate of Carbonaceous Materials by Coating with an Evaporated Metal Film', *J. Power Sources*, **81-82**, 368 (1999).
 - 15. N. Kuwata, R Kumar, K. Toribami, T. Suzuki, T. Hattori, and J. Kawamura, 'Thin Film Lithium Ion Batteries Prepared Only by Pulsed Laser Deposition', *Solid State Ionics*, **177**, 2827 (2006).